

## 1.8 弯曲材の極限強度

名古屋大学 正員 福本啓士  
名古屋大学 学生員 ○伊藤 滉

### 1.はじめに

本研究は、圧延H形鋼部材を冷間曲げ加工により、円弧状に弯曲させた部材に偏心圧縮力を作用させた場合の部材の極限強度を求めたものである。

極限強度に影響を与える項目として次のようなものを研究対象とした。

- 1) 圧延による残留応力分布。
- 2) 冷間加工時に生ずる残留応力分布。
- 3) 曲率半径の大小。
- 4) 荷重の偏心量。
- 5) フランジの幅厚比。

### 2. 実験概要

#### 1) 冷間加工による残留ひずみ

圧縮試験に先立ち、冷間加工時に生ずる残留ひずみ分布を測定を試みた。その結果は、SS41/T最高残留ひずみ量は、 $\varepsilon_R = 1/500, 10^6$ , KH36 (SM50相当) では、 $\varepsilon_R = 1/700, 10^6$ 程度であり、それより、各鋼材、ひずみ硬化開始附近のひずみ度に等しい。

#### 2) 圧延による残留応力

残留応力は、切削法によって求めた。その結果を図-1に示す。圧延による残留応力分布は、圧縮側で最高7.0%, 引張側で11.5%であり、その分布は、図-1-aに示す。冷間曲げ加工と圧延の両方の影響による残留応力分布は、図-1-bのようになる。圧縮側で最高9.5%，引張側で10.5%である。圧延による残留応力度と冷間曲げ加工と圧延の両方による残留応力度を比較すると、冷間曲げ加工による残留応力分布が大きい。

#### 3) 圧縮試験

実験装置は、名古屋大学建築学科に設置されている前川製作所製の300t長柱試験機を使用した。写真に示すように中心軸力載荷と偏心軸力載荷を両端ピンの支持条件としたところであった。偏心量は断面高の半分=10mmを加えたもののY軸方向に与えた。測定は、

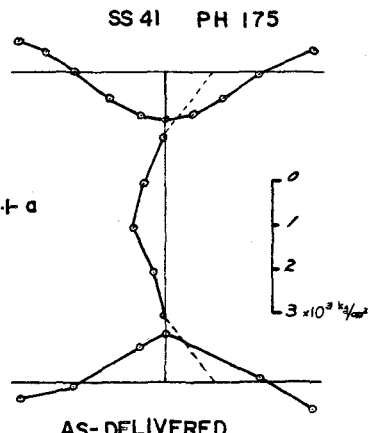


Fig-1-a

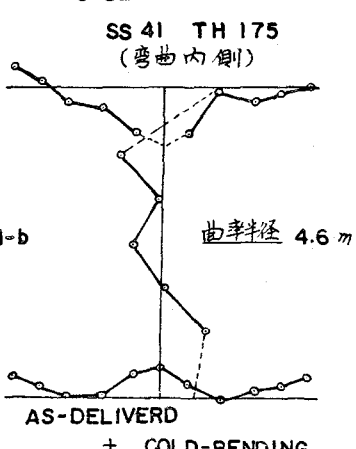
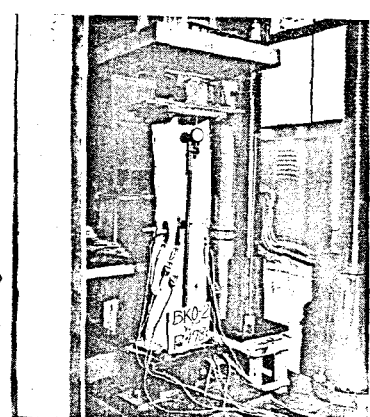


Fig-1-b



荷重、部材中央に於けるひずみ分布、および、トランシットを用いて部材中央での水平たわみ、フランジはりみ出しが量を測定し、ダイヤルゲージ(最小目盛 1mm)を用いて軸方向の変位を測定することにより、非弾性域でのひずみ剛性に対する載荷の目安とした。

### 3 実験結果とその考察

部材中央の荷重-水平たわみ曲線の一例を図-2に示す。又、図-3は、両端に作用させた軸方向力  $P$  と偏心による曲げモーメントの極限強度における相関曲線を示したものである。両軸とも、 $\bar{A} = A \times 0.8$ ,  $M_p = 2 \times 10^6$  で無次元化してある。同図で軸線上に於ては、直材は、弱軸方向の変形が現われ 0.5 たるものもあり、弯曲材よりも強度が低くていい場合がある。用いた断面のフランジ幅厚比は、 $\beta_t = 16.8, 15.7, 13.6, SS41, \beta_t = 15.7, 14.8, SM50$  であり、この程度では、ひずみかひずみ硬化域に達するまでフランジの局部座屈が生ずるとはない。実験値をもつて、早期の局部座屈を起すところなく断面はひずみ硬化域まで達し、理想弾塑性材として計算した軸力と曲げモーメントの相関曲線(実線)を上まわっている。図-3からわかるように、单純塑性理論による全塑性状態を過ぎてからの軸力と曲げモーメントの増加は、供試体の各の値は、 $\beta_t = 11.5 \sim 15.9$  と非常に小さなため、ひずみ硬化の影響が大きいことを示している。なお、弯曲度を有する部材については、各試験体共、極限強度(最大耐力)は、部材の弯曲内側フランジの局部座屈で決まっており、この弯曲度の大きさが弯曲内側フランジの局部座屈に与える影響については、目下検討中である。なお、本研究は、川崎製鉄建井技術部のトンネル支保工強度の依託研究に廻連しておこなつたものである。

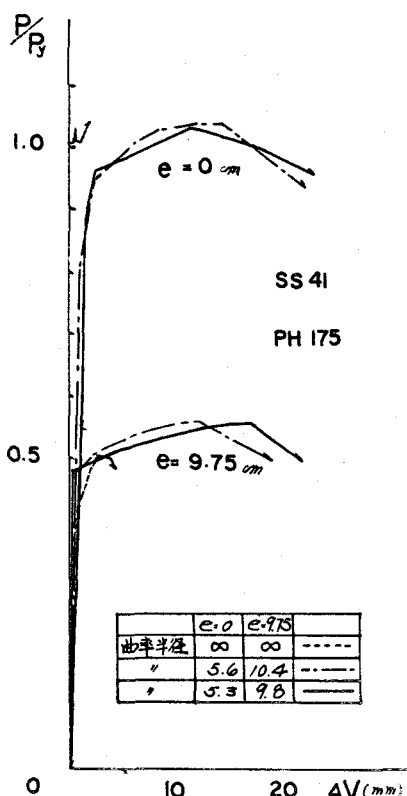


Fig-2 LOAD-DEFLECTION CURVE

